




航天器控制原理

第二十二讲 喷气姿态控制系统


主讲：刘莹莹

西北工业大学 精确制导与控制研究所

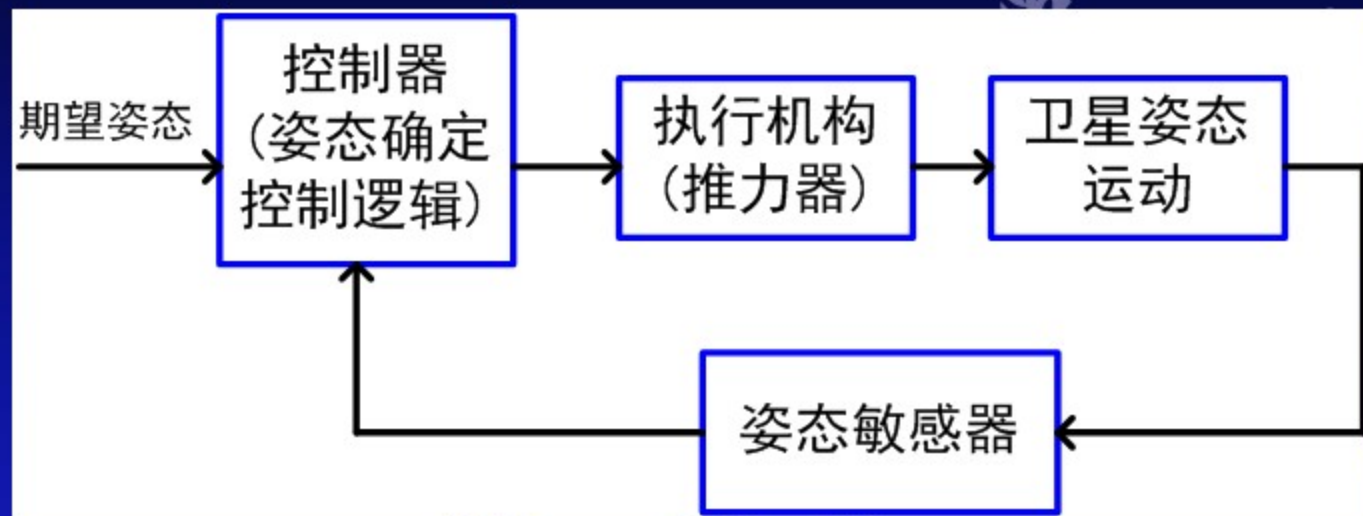




第二十二讲 喷气姿态控制系统

- 1、三轴稳定卫星的姿态确定
 - 2、喷气姿态控制系统的控制律
 - 3、极限环工作方式
- 
- 航天器控制原理

1、三轴稳定卫星的姿态确定



姿态确定方法:

- (1) 确定性方法
- (2) 状态估计方法

确定性方法

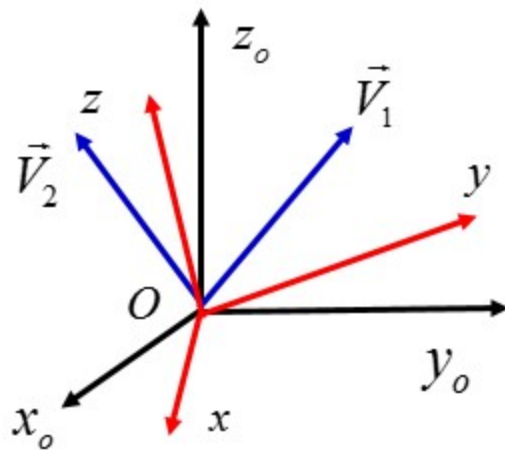
(1) 代数确定方法

双矢量姿态确定

已知参考坐标系中两个不平行的
参考矢量 \vec{V}_1, \vec{V}_2

在星体坐标中被测得的是 \vec{U}_1, \vec{U}_2

$$\vec{U}_1 = \underline{A} \vec{V}_1, \vec{U}_2 = \underline{A} \vec{V}_2$$



参考基准矢量不平行

$$\vec{V}_1 \times \vec{V}_2 \neq 0$$

参考坐标系中


$$\vec{R}_1 = \vec{V}_1, \quad \vec{R}_2 = \frac{\vec{V}_1 \times \vec{V}_2}{\|\vec{V}_1 \times \vec{V}_2\|}, \quad \vec{R}_3 = \vec{R}_1 \times \vec{R}_2$$

$$\mathbf{M}_R = \begin{bmatrix} \vec{R}_1 & \vec{R}_2 & \vec{R}_3 \end{bmatrix}$$

本体坐标系中

$$\vec{S}_1 = \vec{U}_1, \quad \vec{S}_2 = \frac{\vec{U}_1 \times \vec{U}_2}{\|\vec{U}_1 \times \vec{U}_2\|}, \quad \vec{S}_3 = \vec{S}_1 \times \vec{S}_2$$

$$\mathbf{M}_s = \begin{bmatrix} \vec{S}_1 & \vec{S}_2 & \vec{S}_3 \end{bmatrix}$$


$$\mathbf{M}_R = \begin{bmatrix} \vec{R}_1 & \vec{R}_2 & \vec{R}_3 \end{bmatrix}$$

$$\mathbf{M}_s = \begin{bmatrix} \vec{S}_1 & \vec{S}_2 & \vec{S}_3 \end{bmatrix}$$

$$\mathbf{M}_s = \mathbf{A} \mathbf{M}_R$$

姿态矩阵

$$\mathbf{A} = \mathbf{M}_s \mathbf{M}_R^{-1} = \mathbf{M}_s \mathbf{M}_R^T$$


多矢量姿态确定

参考坐标系中多个互不平行的参考

$$\text{矢量 } V = [\vec{V}_1 \quad \vec{V}_2 \quad \dots \quad \vec{V}_N]$$

在星体坐标中的观测矢量

$$U = [\vec{U}_1 \quad \vec{U}_2 \quad \dots \quad \vec{U}_N]$$

$$U = AV$$

$$A = UU^T(VU^T)^{-1}$$

代数确定法简单直接，计算量小；
但不能加权处理不同精度的测量值。

★ (2) 最优确定方法

寻找一个最优正交矩阵，使得以下二次型性能指标为最小

$$L(A) = \frac{1}{2} \sum_{i=1}^N \alpha_i \left\| \vec{U}_i - A \vec{V}_i \right\|^2$$

$$\alpha_i = \frac{1}{R_i} \frac{1}{\sum_{j=1}^N (1/R_j)}$$

R_i 敏感器测量误差方差。

这个性能指标最初是由Wahba于1965年提出的。最小二乘意义上的最优姿态解。QUEST等方法。

状态估计方法

$$\begin{bmatrix} \dot{\phi} \\ \dot{\theta} \\ \dot{\psi} \end{bmatrix} = f(\phi, \theta, \psi, \omega_x, \omega_y, \omega_z)$$

$$\vec{U}_1 = \mathbf{A} \vec{V}_1 + \mathbf{v}_1$$

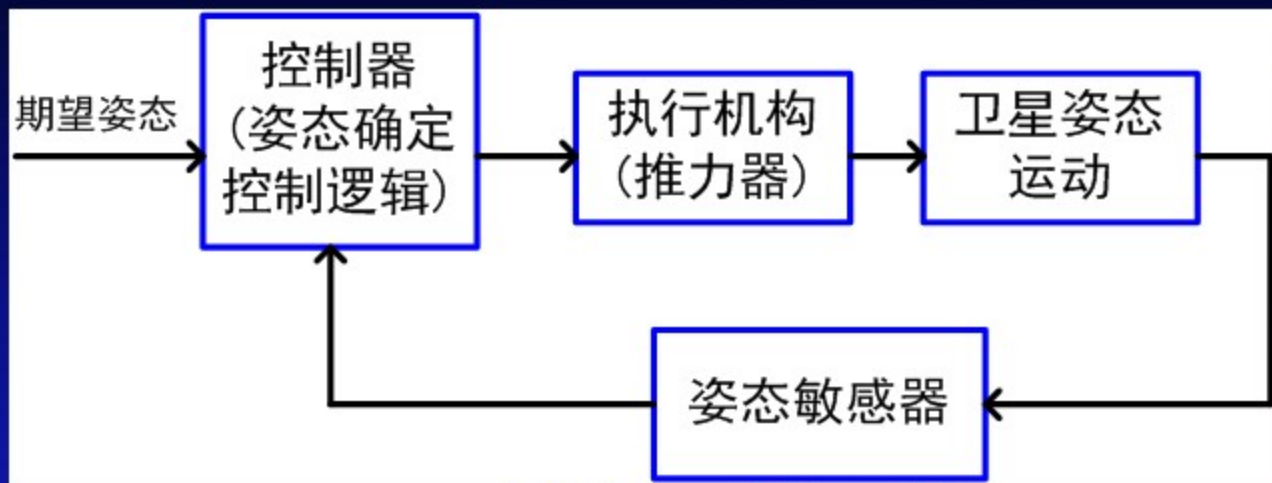
$$\vdots$$

$$\vec{U}_N = \mathbf{A} \vec{V}_N + \mathbf{v}_N$$

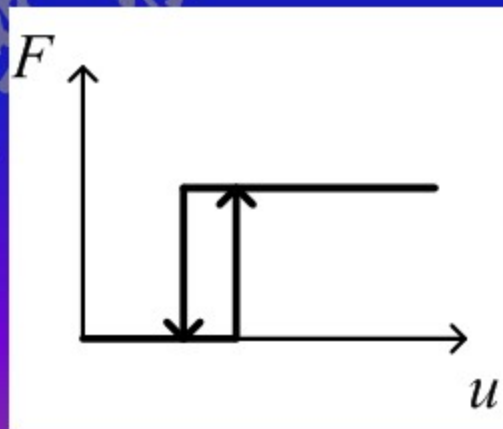
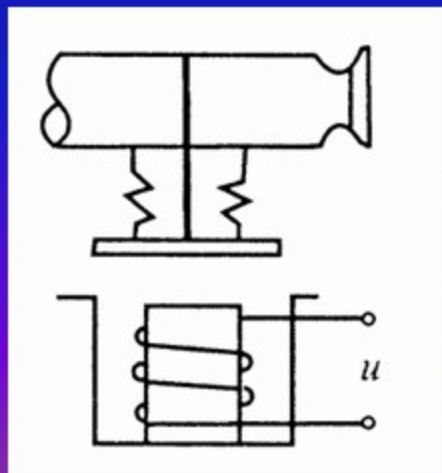
$$X(k+1) = \varphi(X(k), W(k), k)$$

$$Z(k+1) = h(X(k+1), V(k+1), k)$$

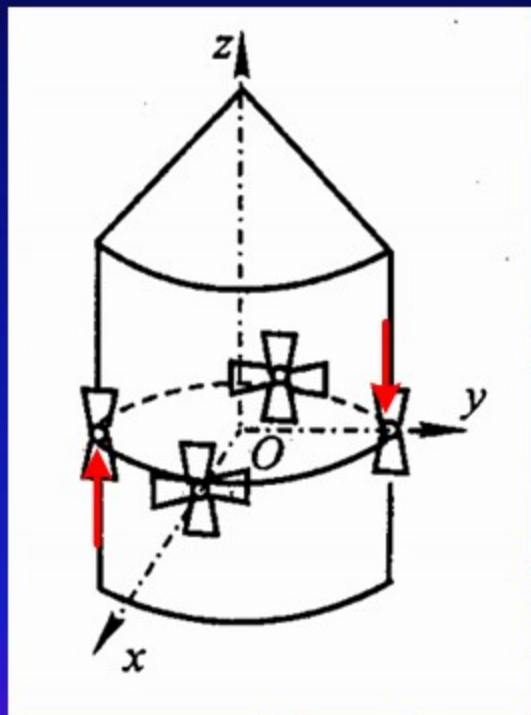
2、喷气姿态控制系统的控制律



喷嘴机构的工作原理



推力器配置产生三轴控制力矩



$$\begin{cases} M_{cx} = \pm 2Fl \\ M_{cy} = \pm 2Fl \\ M_{cz} = \pm 2Fl \end{cases}$$

三轴稳定航天器简化动力学方程

$$I_x \ddot{\phi} = M_{cx} + M_{dx}$$

$$\underline{I_y \ddot{\theta} = M_{cy} + M_{dy}}$$

$$I_z \ddot{\psi} = M_{cz} + M_{dz}$$

三通道具有相同的形式，以俯仰通道为例进行讨论。

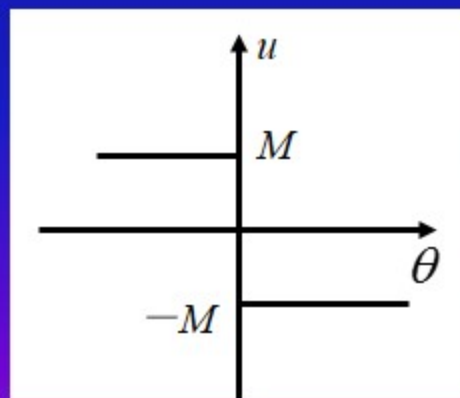
基于位置反馈的控制律

俯仰通道动力学方程

$$I_y \ddot{\theta} = u + M_{dy}$$

基于位置反馈的控制律

$$u = \begin{cases} -M & \theta > 0 \\ M & \theta < 0 \end{cases}$$



$$I_y \ddot{\theta} = u + \cancel{M_{dy}}$$

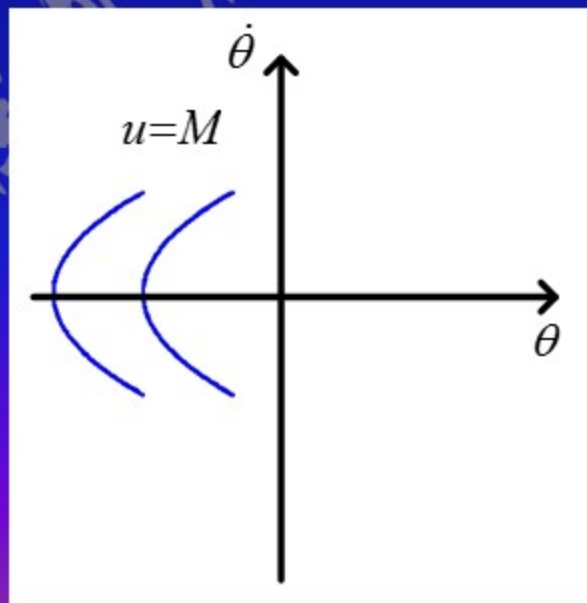
$$u = M$$

$$\ddot{\theta} = \frac{M}{I_y} \triangleq A$$

$$\dot{\theta} = \dot{\theta}_0 + At$$

$$\theta = \theta_0 + \dot{\theta}_0 t + \frac{1}{2} At^2$$

$$(\theta - \theta_0) = \frac{1}{2A} (\dot{\theta}^2 - \dot{\theta}_0^2)$$



$$I_y \ddot{\theta} = u + \cancel{M_{dy}}$$

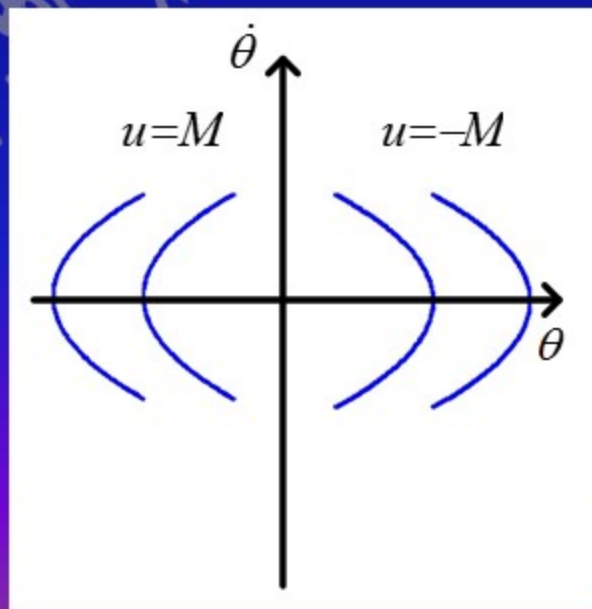
$$u = -M$$

$$\ddot{\theta} = -\frac{M}{I_y} = -A$$

$$\dot{\theta} = \dot{\theta}_0 - At$$

$$\theta = \theta_0 + \dot{\theta}_0 t - \frac{1}{2} At^2$$

$$(\theta - \theta_0) = -\frac{1}{2A}(\dot{\theta}^2 - \dot{\theta}_0^2)$$



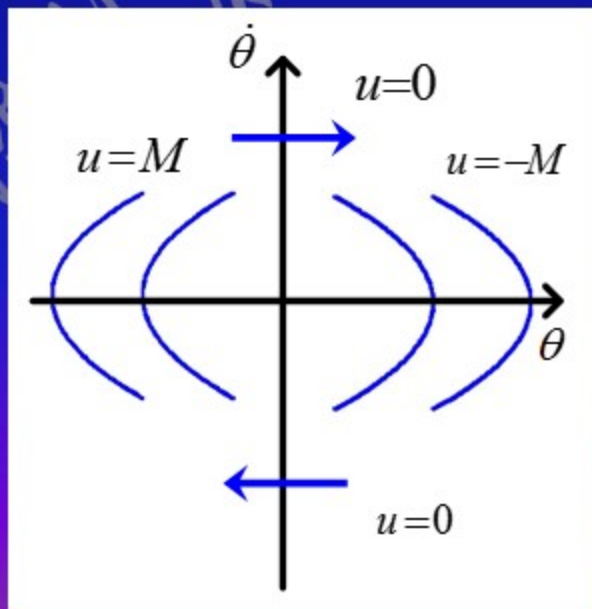
$$I_y \ddot{\theta} = u + \cancel{M_{dy}}$$

$$u = 0$$

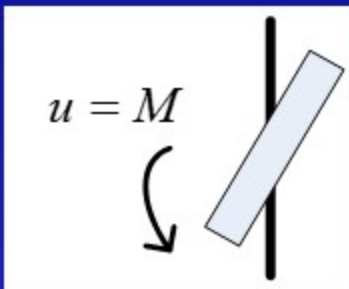
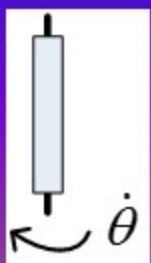
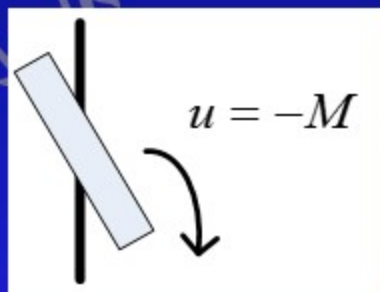
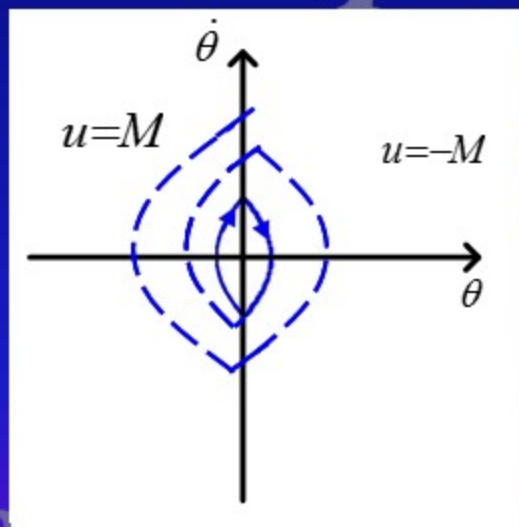
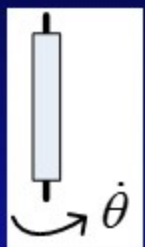
$$\ddot{\theta} = 0$$

$$\dot{\theta} = \dot{\theta}_0$$

$$\theta = \theta_0 + \dot{\theta}_0 t$$

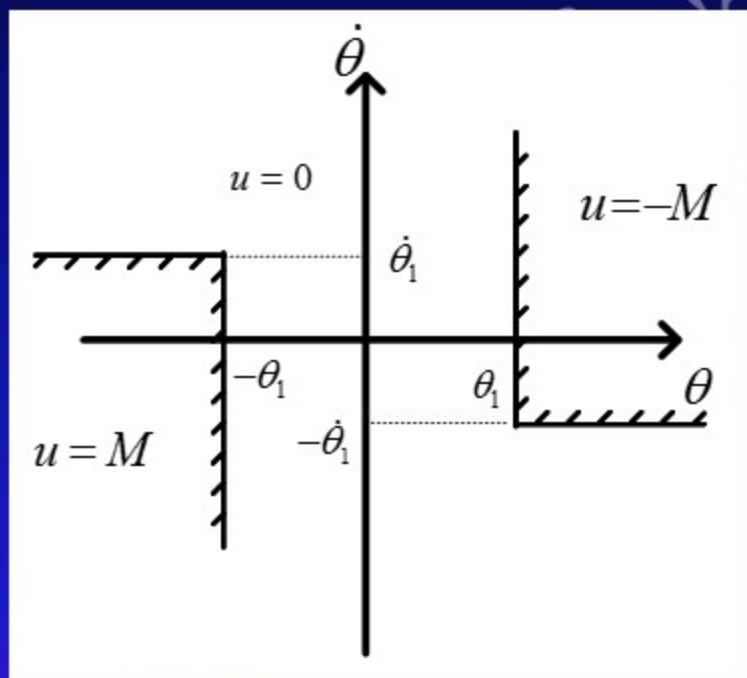


$$u = \begin{cases} -M & \theta > 0 \\ M & \theta < 0 \end{cases}$$

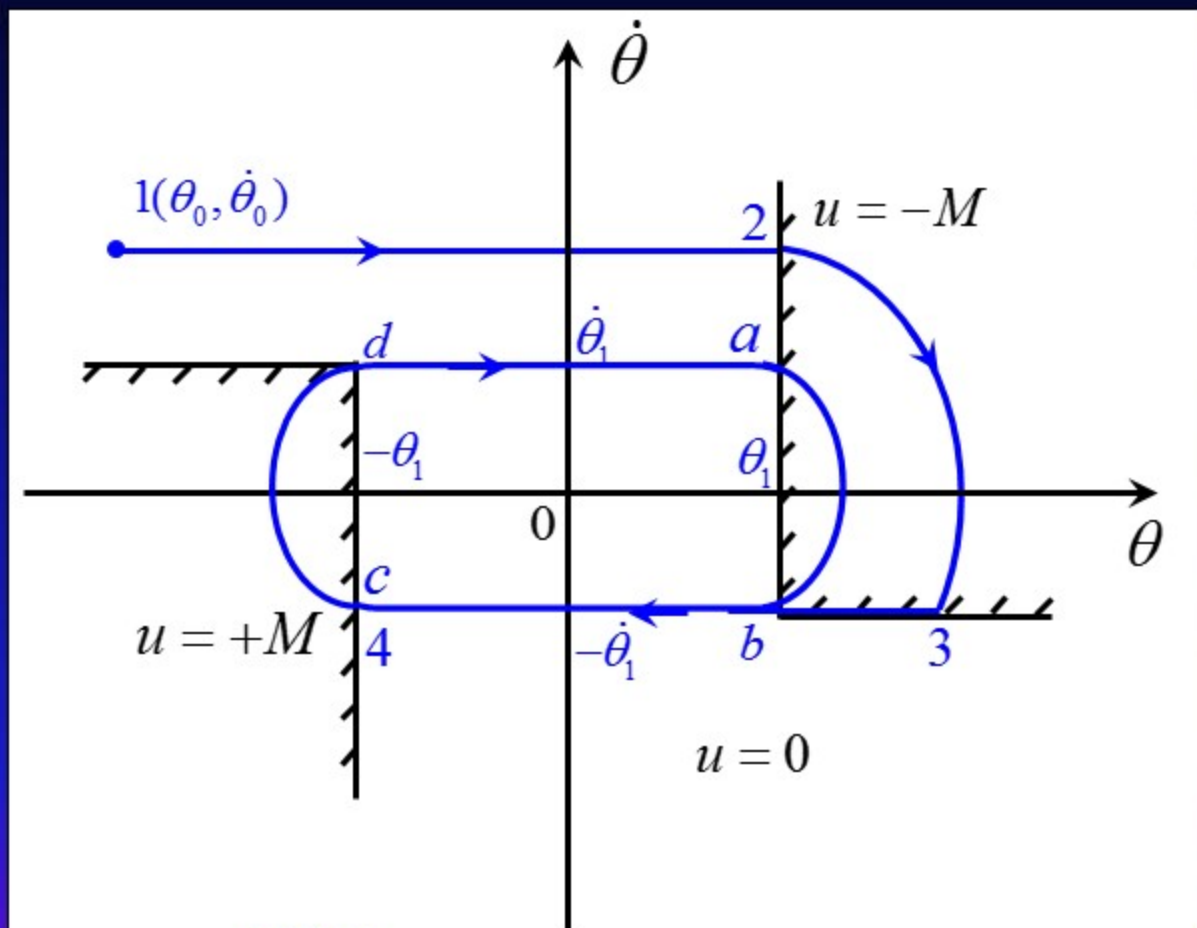


基于位置和速度反馈的控制律

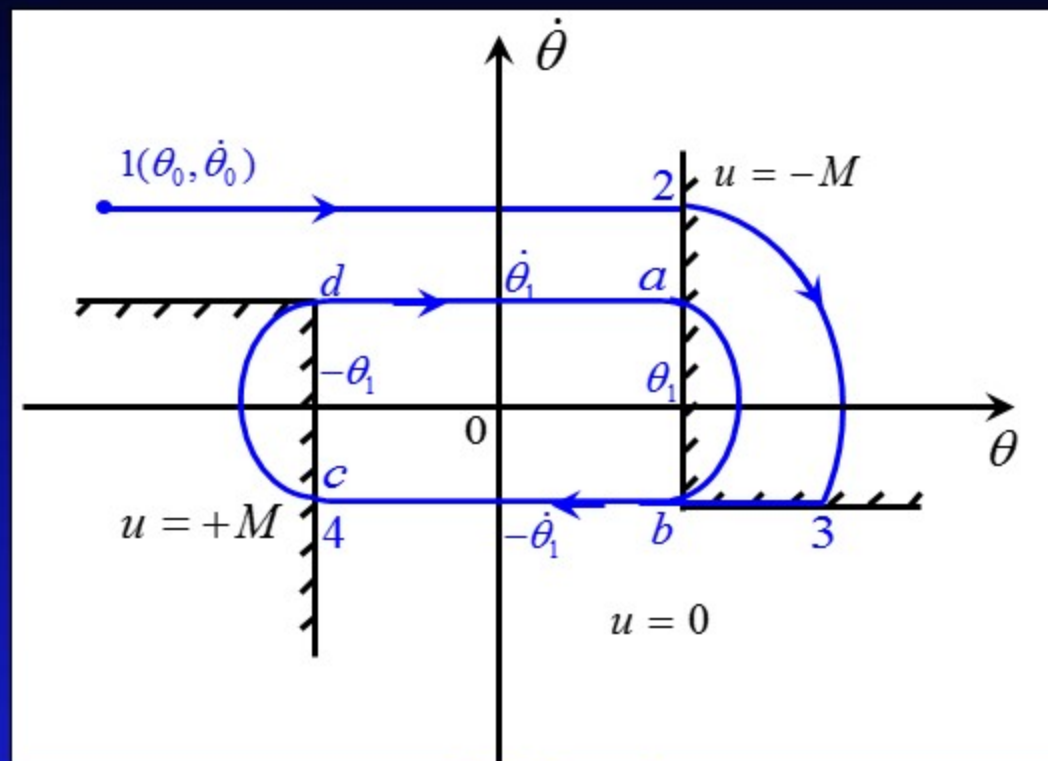
在反馈控制系统中引入角速度反馈



$$u(\theta, \dot{\theta}) = \begin{cases} -M & \text{当 } \theta > \theta_1, \dot{\theta} > -\dot{\theta}_1 \\ M & \text{当 } \theta < -\theta_1, \dot{\theta} < \dot{\theta}_1 \\ 0 & \text{else} \end{cases}$$



极限环自振荡模式



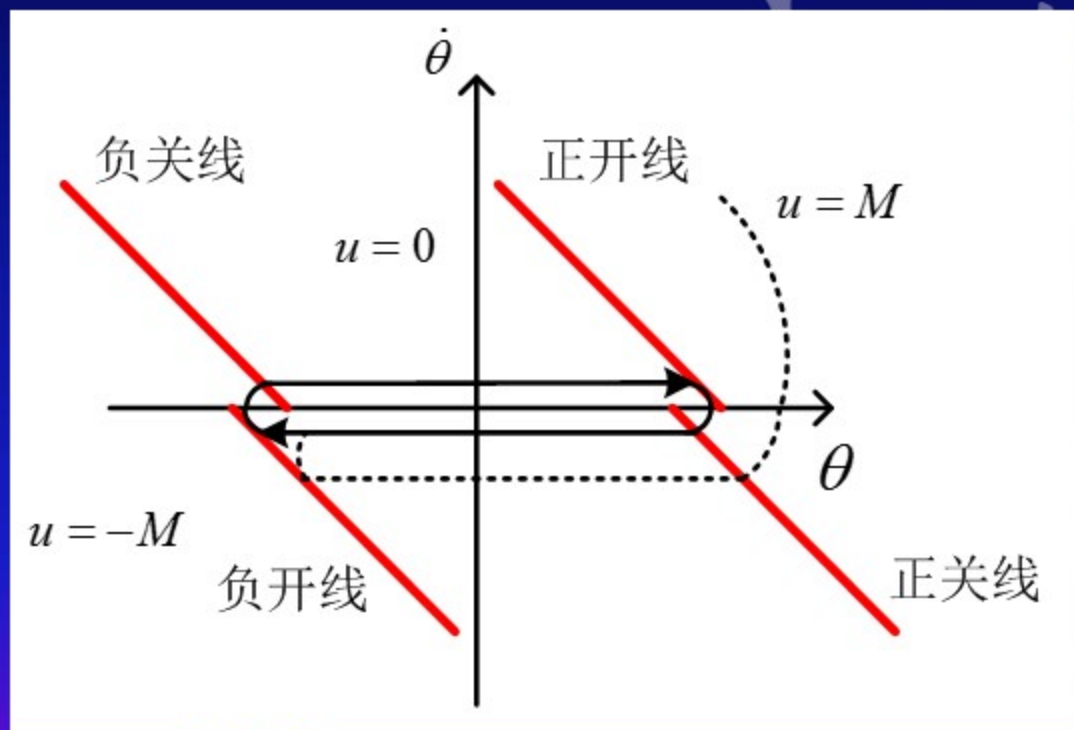
$$4\theta_1 = \dot{\theta}_1 t_{\text{off}} \quad 4\dot{\theta}_1 = At_{\text{on}}$$

自振荡周期

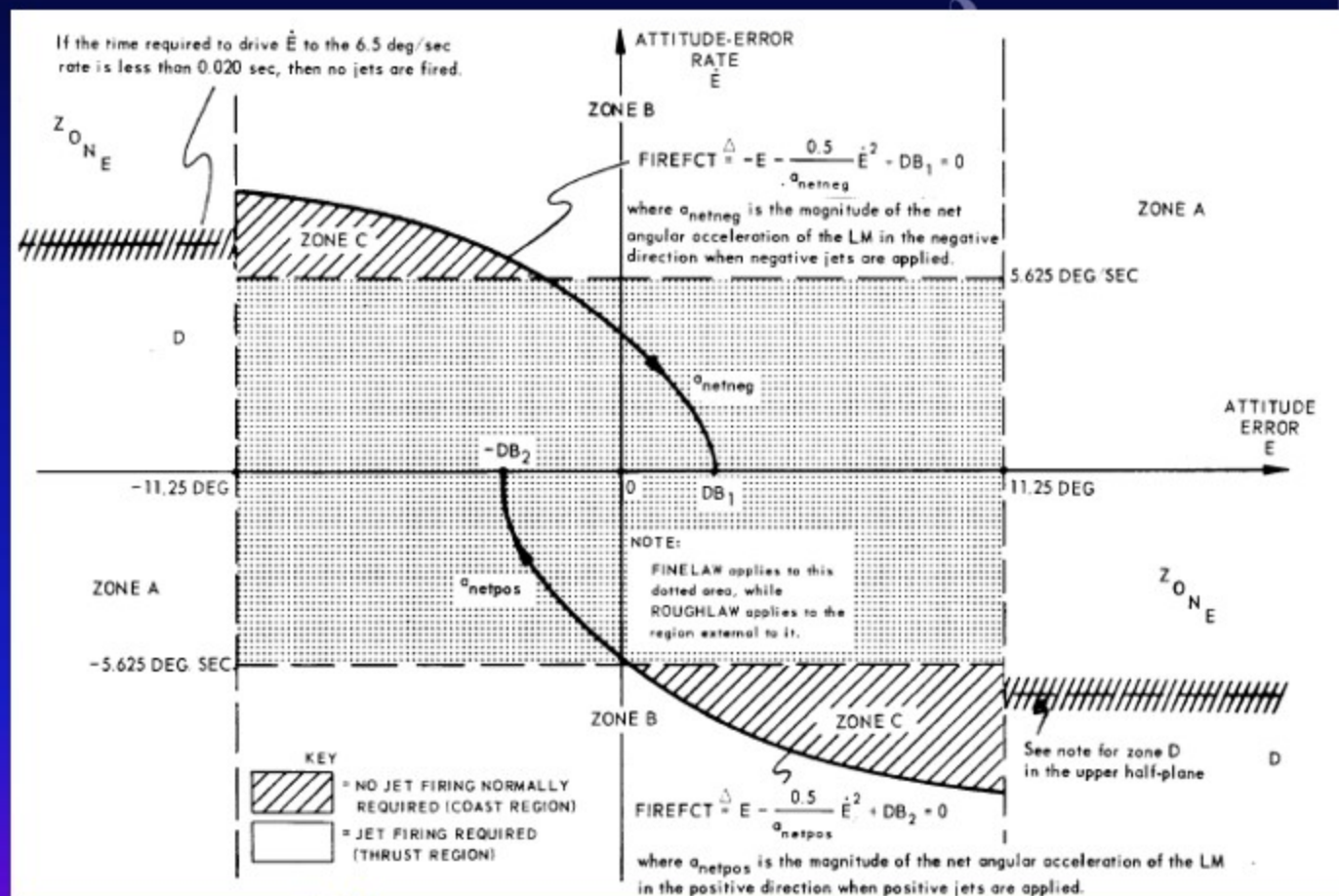
$$t_a = 4\left(\frac{\theta_1}{\dot{\theta}_1} + \frac{\dot{\theta}_1}{A}\right)$$

其它形式的控制律

斜开关线控制



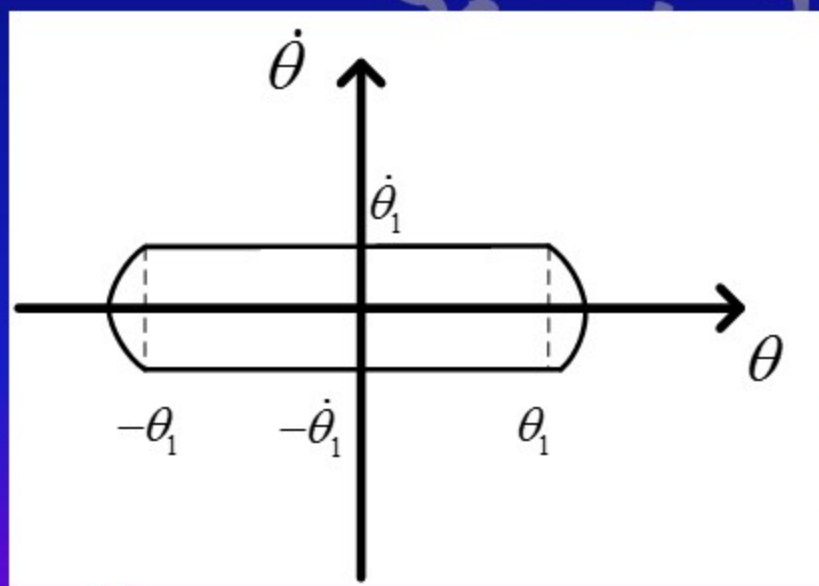
阿波罗登月舱推力器姿态控制。



Guidance System Operations Plan for Manned LM Earth
Orbital and Lunar Missions Using Program LUMINARY.
Section 3 Digital Autopilot

3、极限环工作方式

极限环的参数决定姿态控制的精度，
极限环内消耗的工质决定了航天器的
寿命。

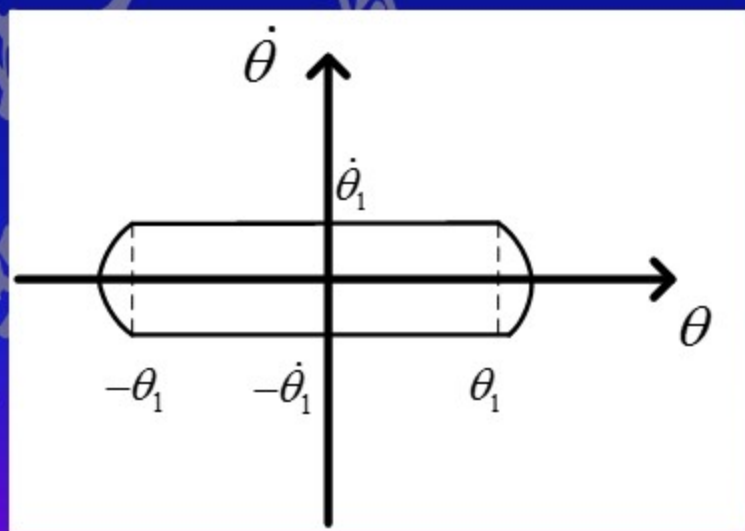


$$I_s = \frac{F}{\dot{m}g_0} \quad \dot{m} = \frac{F}{I_s g_0}$$

$$\dot{\theta}_1 = \frac{Fl \cdot \Delta t}{2I_y}$$

航天器的理想平均工质消耗量为

$$\begin{aligned} \dot{m} &= \frac{2\dot{m}\Delta t}{4\theta_1 / \dot{\theta}_1} \\ &= \frac{(Fl\Delta t)^2}{4I_y g_0 I_s l \theta_1} \end{aligned}$$

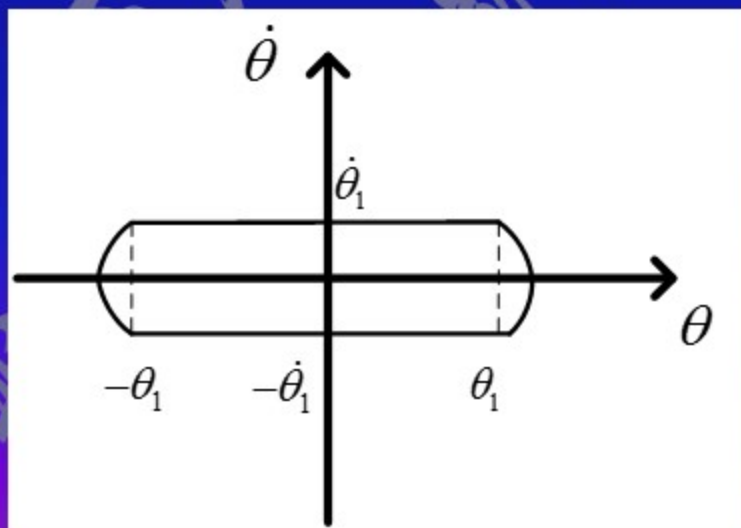


选择小力矩、小脉宽、大比冲的推力器能使工质消耗速度减小。

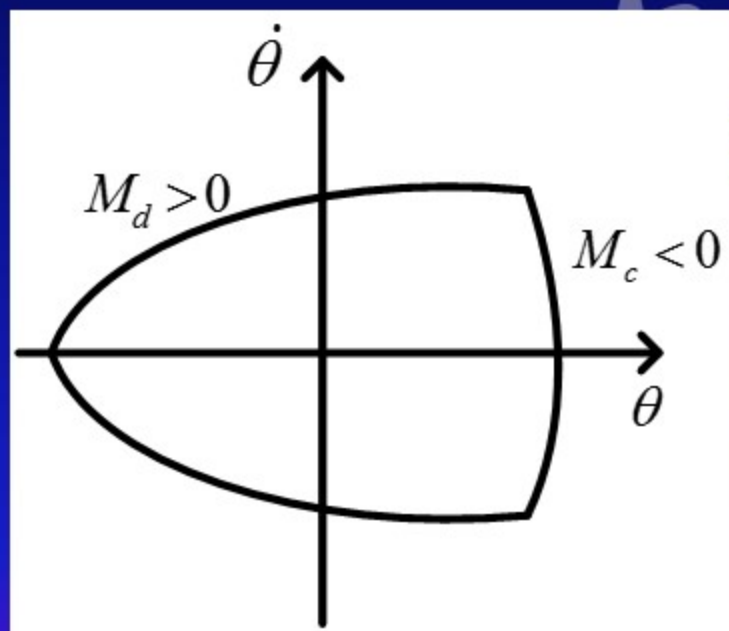
推力器和敏感器的选择必须保证
极限环参数均小于航天器姿态控制精
度要求，即


$$\theta_1 < \theta_c \quad \dot{\theta}_1 < \dot{\theta}_c$$

式中， θ_c 和 $\dot{\theta}_c$ 分别为航天器姿态控
制的角度和角速度精度要求。




常值干扰力矩的存在会使姿态漂移，
形成单侧极限环。





推力器适合于克服常值扰动

$$\begin{cases} M_{dx} = 10^{-5} (3 \cos \omega_0 t + 1) \\ M_{dy} = 10^{-5} (1.5 \sin \omega_0 t + 3 \cos \omega_0 t) \\ M_{dz} = 10^{-5} (3 \sin \omega_0 t + 1) \end{cases}$$


航天器控制原理